

УДК 593.195:596.771

П. Я. Килочицкий

МИКРОСПОРИДИИ КРОВОСОСУЩИХ КОМАРОВ ГРУППЫ *AEDES CANTANS*

Мікроспоридії кровосисних комарів групи *Aedes cantans*. Килочицький П. Я.— У 7 видів комарів групи *Aedes cantans* Київської та Чернігівської областей виявлено 4 види мікроспоридій роду *Amblyospora*; З них описуються у статті як нові: *A. cantansi* sp. n. від *A. cantans* (типовий хазяїн), *A. euedes* та *A. flaves-*
cens (Київська обл.); *A. pilosa* sp. n. від *A. cantans* (типовий хазяїн) та *A. annulipes* (Київська обл.); *A. dissimilis* sp. n. від *A. cantans* (типовий хазяїн), *A. cypri-*
sus, *A. behningi* та *A. excrucians* (Чернігівська обл.); *A. cataphyllus* знайдений у нового хазяїна — *A. cantans*. Типовий матеріал нових видів зберігається в Лабораторії екології та токсикології Київського університету.

Ключові слова: Microsporidia, *Amblyospora*, хазяї, нові види, Україна.

Microsporidia of the Blood Sucking *Aedes cantans* Mosquito Group. Kiloczycki P. Ya. — Four microsporidian species of the genus *Amblyospora* are found in 7 *Aedes* blood sucking mosquito species in Kiev and Chernigov regions of Ukraine; 3 of them are described herewith as new: *A. cantansi* sp. n. from *A. cantans* (type host), *A. euedes* and *A. flaves-*
cens (Kiev region); *A. pilosa* sp. n. from *A. cantans* (type host) and *A. annulipes* (Kiev region); *A. dissimilis* sp. n. from *A. cantans* (type host), *A. cypri-*
sus, *A. behningi* and *A. excrucians* (Chernigov region); *A. cataphyllus* is found in a new host. *A. cantans*. Type materials of the new species are deposited in the Ecology and Toxicology Laboratory, Kiev University.

Key words: Microsporidia, *Amblyospora*, hosts, new species, Ukraine.

Материал и методика. Материал собран на севере Украины (в окр. населенных пунктов: Круглик — 11 км юж. Киева; Феофания — юго-вост. пригород Киева; Пуща Водица — 1 км сев. Киева; Вита Почтовая — 10 км южн. Киева; Сибереж — 22 км сев. Чернигова; Голубичи — 30 км сев. Чернигова) (табл. 1). Преимагинальные стадии комаров дозаривались в лабораторных условиях. Препараты для световой и электронной микроскопии изготавливались по общепринятым стандартным методикам. Использованы также данные от изучения препаратов микроспоридий из коллекции Лаборатории экологии и токсикологии Киевского университета.

Результаты исследований. Диплокариотическая мерогония, монокариотическая спорогония, характер формирования и строение спорофорных пузырьков, морфология живых и окрашенных октоспор и их ультраструктура (пластинчатый поляропласт, одноядерная спороплазма, четкие отличия базального и дистального отделов полярной трубки) свидетельствуют о принадлежности обнаруженных микроспоридий к роду *Amblyospora*. Отличительной особенностью наших микроспоридий является наличие плавного (на протяжении 1—2 витков) перехода от толстого базального отдела полярной трубки к тонкому дистальному, что отмечалось нами и ранее (Килочицкий, 1992). Полученные данные позволяют уточнить диагноз рода *Amblyospora* указанием на возможность наличия наряду с резким (Hazard, Oldacge, 1975) плавного, постепенного перехода от базального к дистальному отделу полярной трубки.

На основании морфологических отличий стадий развития и зрелых спор обнаруженные микроспоридии относятся к четырем видам, три из

© П. Я. Килочицкий, 1995

которых описываются ниже (табл. 2 и 3). Типы (гапантотипы) описываемых новых видов хранятся в коллекции Лаборатории экологии и токсикологии Киевского университета.

Amblyospora cantansi Kiloczyski, sp. n.

Thelohania sp., Килочицкий, 1974; *Thelohania opacita* Kudo, 1922, Килочицкий, 1974; Килочицкий, Шеремет, 1978; *Amblyospora* sp., Овчаренко и др., 1987.

Материал. Гапантотип: препараты 0637 (водный, тушевый), 0638 (окрашенный, постоянный) из личинки *A. cantans* (проба 16-9, залита в эпоновую смесь). Электронномикроскопические негативы 4453—4456.

Таблица 1. Виды комаров, время и место сбора материала

Table 1. Mosquito species, time and locality of material collection

№ проб	Вид комаров	Дата сборов	Место сбора материала
10-9	<i>Aedes cantans</i> (M g.)	10.04.89	Круглик, Киевской обл.
12-9	Тот же	17.04.89	Там же
13-9	<i>A. flavescens</i> Mull.	Та же	Там же
16-9	<i>A. cantans</i>	18.04.89	Феофания, Киевской обл.
18-9	<i>A. cyprius</i> Lidl.	6.05.89	Сибереж, Черниговской обл.
19-9	<i>A. behningi</i> Mart.	Та же	Голубичи, Черниговской обл.
20-9	<i>A. cantans</i>	Та же	Там же
28-0	<i>A. annulipes</i> (M g.)	13.03.90	Пуща-Водица, Киевской обл.
34-0	<i>A. cantans</i>	17.04.90	Круглик
37-0	Тот же	18.04.90	Вита Почтовая, Киевской обл.
42-0	Тот же	23.04.90	Феофания
43-0	Тот же	11.04.90	Вита Почтовая
47-0	Тот же	10.05.90	Пуща-Водица
58-0	<i>A. cyprius</i>	7.05.90	Сибереж

Примечание: названия видов приводятся для табл. 1—3.

Таблица 2. Морфологические характеристики спор микроспоридий по данным световой микроскопии

Table 2. Morphological characteristics of the Microsporidia spores on evidence of light microscopy

№ проб	Пол хозяй- на	Размеры живых спор, мкм		Наличие мукокаликса	Устойчивость спор в водной суспензии
		большинство спор	границы изменчивости		
<i>A. cantansi</i> sp. n.					
10-9	?	6,3×4	6,0—6,3×3,8—4,4	+++	устойчивы
12-9	?	6,3×4	6,0—6,3×3,8—4,4	+++	неустойчивы
13-9	?	6,3×3,8	6,3—7,5×3,8—4,8	+++	устойчивы
16-9	?	6,3×4,4	6,0—6,3×4,4—4,8	+++	неустойчивы
<i>A. pilosa</i> sp. n.					
28-0	♀	6,2×4,8	6,0—6,3×4,8	—	неустойчивы
34-0	?	6,3×4,3	6,3—6,5×3,8—5	—	устойчивы
37-0	♂	6,3×3,8	6,3×3,8—4	—	устойчивы
42-0	♀	6,3×4,4	6,0—6,3×4,4—4,8	—	неустойчивы
47-0	?	7,1×4,8	6,9—7,3×4,5—5	—	устойчивы
<i>A. dissimilis</i> sp. n.					
18-9	♂	6,3×4,4	6,0—6,3×4,0—5	+	неустойчивы
19-9	?	6,5×4,8	6,5—7,0×4,0—4,8	++	устойчивы
20-9	?	6,9×4,8	6,9—7,3×4,5—5,3	++	устойчивы
58-0	?	6,3×3,8	6,3—6,8×3,8—4	—	устойчивы
<i>A. cataphyllus</i>					
43-0	♀	6,8×5	6,8—7,3×5	+	устойчивы

Примечание: +++ — мукокаликс крупный, проявляется сразу; ++ — мукокаликс на половину мельче, проявляется через неделю и позже; + — мукокаликс выражен очень слабо.

3. Морфологические характеристики спор микроспоридий по данным электронной микроскопии
Table 3. Morphological characteristics of the Microsporidia spores on evidence of electron microscopy

№ проб	Размеры спор, мкм	Количество зигетов полярной трубы		Диаметр полярной трубы	Толщина стенок оболочки, нм	
		общее	по участкам		базальный участок	дистальный участок
10-9	4,4—5,0×3,7—3,9	12 (11—12)	(4—5)+(1—2)+(6—5)	270	150	70
12-9	4,8—5,3×3,2—3,7	12 (10—12)	(3—5)+(1—2)+(6—5)	250—330	190	80
13-9	5,0—5,3×3,3—3,5	11,5 (11—12)	(4—5)+(1—2)+(7—5)	310—320	190—200	40
16-9	4,4—4,8×3,2—3,5	12 (11—12)	(4—5)+(1—2)+(6—5)	290	160	70
			<i>A. pilosa</i> sp. n.			
28-0	3,8—4,0×3,0—3,5	11,5 (11—12)	(4—5)+(2+(6—5))	250	140—160	70
34-0	4,0—4,3×2,5—2,9	12	(4—4)+(2+(6—?))	230	140—150	90
37-0	3,7—4,9×3,0—3,3	1,1—12	(4—5)+(2+(7—5))	230	130	70—90
42-0	4,0—4,6×3,0—3,2	11	(4—?) +(2+(7—5))	220—250	140	70—120
47-0	4,7×4,0	11,5 (11—12)	(4—?) +(2+(6—5))	240—270	150—170	50—70
			<i>A. disimilis</i> sp. n.			
18-9	5,2×3,3—3,6	7	(2—3)+(1—2)+(3—2)	260—280	150—160	180—250
19-9	5,3×3,1—3,4	7,5 (7—9)	(2—3)+(1—2)+(4—3)	310—340	160—190	250—300
20-9	4,8—5,3×3,3—3,7	7 (7—8)	(2—3)+(1—2)+(3—2)	290	160	230—280
58-0	5,3—5,5×3,4—3,5	7 (7—8)	(2—3)+(1—2)+(3—2)	300—310	150—180	250—290
			<i>A. cataphylloides</i>			
43-0	5,0—6,5×3,0—4,8	17,5 (17—18)	(4—5)+(1—2)+(13—11)	300	190	250—280
						80—100

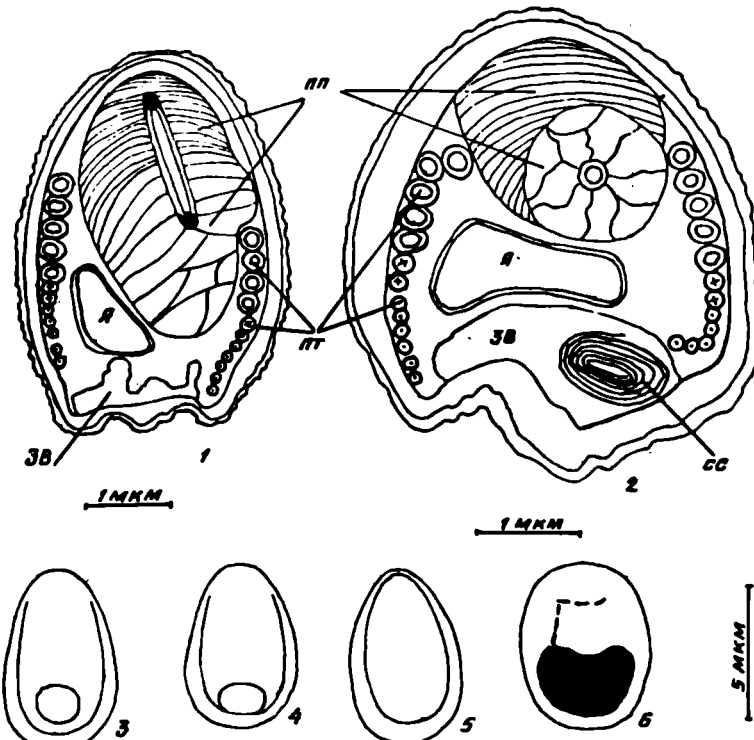


Рис. 1. Споры микроспоридии *A. cantansi* sp. н.: 1—2 — продольные ультратонкие срезы через споры; 3—5 — живые споры; 6 — окрашенная спора (зв — задняя вакуоль, pp — поляропласт, pt — полярная трубка, cc — спиральная структура, я — ядро).

Fig. 1. Spores of *A. cantansi* sp. n.: 1—2 — longitudinal ultrathin sections through spores; 3—5 — living spores; 6 — stained spore (зв — posterior vacuole, pp — polaroplast, pt — polar tube, cc — spiral structure, я — nucleus).

Хозяева: *A. cantans* (типовой хозяин), *A. euedes* и *A. flavescens*: личинки IV стадии.

Локализация: энциты и жировое тело.

Место обнаружения: Украина, Киевская обл.; полупостоянный затененный водоем (проба 16-9).

Описание. В процессе мерогонии путем бинарных делений образуются цепочки продолговатых диплокариотических меронтов (рис. 4, 4, 6). В процессе спорогонии одноядерные споронты (рис. 4, 7) делятся на 2—4—8 клеток, окруженных общей оболочкой — производной от клеточной мембрани одноядерного споронта. Споронты округлые или овальные, двухклеточные. В четырехклеточных споронтах клетки могут располагаться в форме «розетки». Формирующиеся в конце спорогонии спороносные пузырьки содержат по 8 споробластов или спор. Оболочки пузырьков неустойчивы и разрушаются до созревания спор. В споронтах и спороносных пузырьках обычно присутствуют по несколько метаболических гранул небольшого размера. Масса гранул уменьшается по мере созревания спор.

Живые зрелые споры яйцевидные (овально-яйцевидные или вытянуто-яйцевидные) с небольшой, до 0,2 длины споры, округлой задней вакуолью (рис. 1, 3—5). Хорошо развит мукокаликс. Слизистый «кореол» вокруг спор достигает 18 мкм в диаметре (рис. 4, 1). Размеры живых спор варьируют незначительно — $6,21 \pm 0,08$ ($6,0$ — $6,3$) \times $4,32 \pm 0,16$ ($3,8$ — $4,8$) мкм. Макроспоры, размером 9 — 10×5 — 6 мкм, встречаются редко. Длина самопроизвольно выброшенной полярной трубки 60—125 мкм. Линейные параметры фиксированных спор (на электро-

нограмах) почти на 20 % меньше — $4,64 \pm 0,11$ ($4,4—5,3$) $\times 3,36 \pm 0,09$ ($3,2—3,9$) мкм. Окрашенное по Романовскому-Гимза содержимое спор располагается компактной массой в задней половине спор (рис. 1, 6).

Ультраструктура спор. В оболочке зрелых спор четко различается тонкая морщинистая экзоспора и толстая эндоспора (рис. 1, 1—2; табл. 3). Пластинчатый поляропласт наполовину состоит из плотно уложенных, наполовину — из рыхло уложенных пластин (рис. 4, 13). Ядро полукольцом прилегает к поляропласту в центре споры. Полярная трубка образует в споре 10—12 витков, из которых 3—5 витков составляют базальный участок, 2 витка — медиальный и 5—6 — дистальный. Диаметр трубки по участкам в среднем составляет: базальный — 300 нм, медиальный — 190 нм, дистальный — 175 нм (табл. 3). Внутренний электронно-плотный слой медиального участка полярной трубки имеет форму зубчатого колеса, а дистального — кольца (рис. 4, 17). Задняя вакуоль часто содержит одно или два образования из спирально завитых фибрill или мембран (рис. 1, 2).

Экстенсивность инвазии личинок IV стадии — 1—10 %. Интенсивность инвазии всегда очень высокая. Поражаются все участки жирового тела, включая головную капсулу и сифон.

Дифференциальный анализ. По общему количеству витков полярной трубки в споре *A. cantansi* sp. p. близка к четырем микроспоридиям этого рода из комаров: *A. californica*, *A. canadensis*, *A. connecticus*, *A. khaliulinii* (табл. 4). Отличительными признаками являются: наличие мелких (а не крупных) и немногочисленных гранул в споронтах и спороносных пузырьках; тонкая (а не толстая) экзоспора; диморфный поляропласт; наличие «переходного» участка в полярной трубке.

К этому же виду на основании данных световой микроскопии относятся микроспоридии, обнаруженные ранее у личинок IV стадии комара (Киличицкий, Шеремет, 1978). Общими признаками являются: характер спорогонии, форма и размеры спор, присутствие вокруг спор хорошо развитого мукоаликса.

Распространение. Места обнаружения микроспоридии лежат в пределах Лесостепной зоны Украины. Биотопическая приуроченность (полупостоянные и постоянные затененные водоемы) дает возможность предположить присутствие данного вида и в зоне Полесья.

*Amblyospora pilosa** Kiloczyski, sp. n.

Thelohania opacita Kudo, 1922 (Киличицкий, Шеремет, 1978); *Amblyospora* sp. (Овчаренко и др., 1987).

Материал. Гапантотип: препараты 0698 (водный), 0699 (тушевый), 0700 (окрашенный, постоянный) из личинки *A. cantans* (проба 37-0, залита в эпоновую смесь). Электронномикроскопические негативы 6447—6449.

Хозяева: *A. cantans* (типовой хозяин) и *A. annulipes*; личинки IV стадии, самцы и самки.

Локализация: эндоциты и жировое тело.

Место обнаружения: Украина, Киевская обл.; полупостоянный затененный водоем (проба 37-0).

Описание. Мерогония и начало спорогонии протекают так же, как и у микроспоридии *A. cantansi* sp. p. Однако в отличие от предыдущего вида имеет место асинхронное деление клеток споронтов (2—3—4—6—7—8). Внутри 1—3-ядерных споронтов присутствуют крупные метаболические гранулы, сменяющиеся в 4—8-ядерных споронтах на волокнистые структуры, заполняющие свободное пространство внутри этих споронтов и сохраняющиеся до полного созревания спор в спороносных пузырьках (рис. 4, 14). Оболочки спороносных пузырьков устойчивы.

* pilosa (лат.) — волосатая.

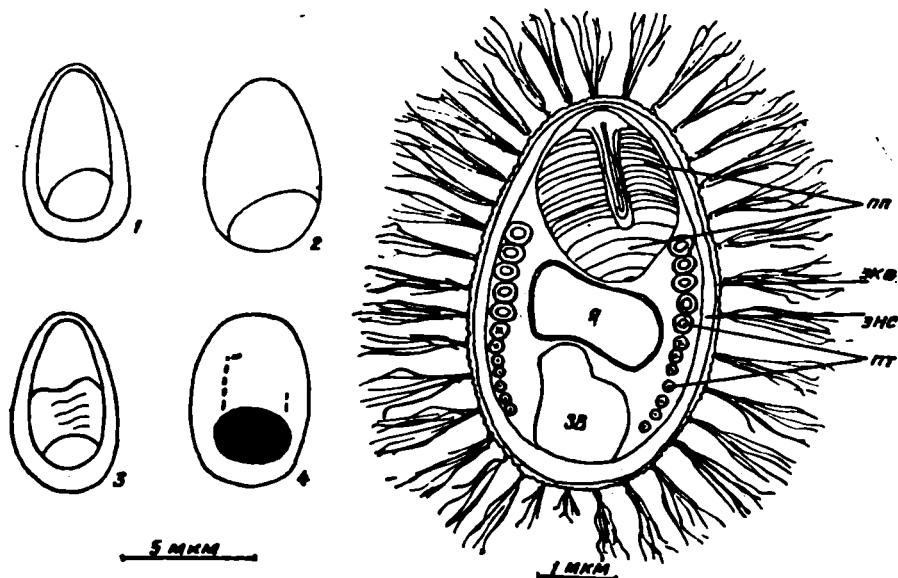


Рис. 2. Споры микроспоридии *A. pilosa* sp. н.: 1—3 — живые споры; 4 — окрашенная спора; 5 — продольный ультратонкий срез через спору (зв — задняя вакуоль, пп — поляропласт, пт — полярная трубка, экс — экзоспора, энд — эндоспора, я — ядро).

Fig 2. Spores of *A. pilosa* sp. n.: 1—3 — living spores; 4 — stained spore; 5 — logitudinal ultrathin section through spore (зв — posterior vacuole, пп — polaroplast, пт — polar tube, экс — exospore, энд — endospore, я — nucleus).

Живые споры яйцевидные или вытянуто-яйцевидные, с крупной (0,25—0,33 длины споры) задней вакуолью (рис. 2, 1—3). Мукокаликс отсутствует. Размеры живых спор $6,49 \pm 0,19$ ($6,0$ — $7,3$) $\times 4,57 \pm 0,17$ ($3,8$ — $5,0$) мкм (табл. 2). Длина самопроизвольно выброшенной полярной трубы — до 90 мкм. Окрашенное по Романовскому-Гимза содержимое спор в виде небольшого комка лежит у заднего полюса (рис. 2, 4).

Ультраструктура спор. Линейные параметры фиксированных спор оказываются на 32—36 % меньше, чем у живых: $4,13 \pm 0,12$

Таблица 4. Морфологические признаки сравниваемых видов микроспоридий рода Amblyospora

Table 4. Morphological characters of compared Microsporidia species of the genus Amblyospora

Вид микроспоридий	Вид комаров	Размеры живых спор мкм	Мукокаликс	Количество витков полярной трубы			Место обнаружения
				всего	базальный отдел	дистальный отдел	
<i>A. californica</i>	<i>Culex tarsalis</i>	$6,0$ — $7,3 \times 3,8$ — $5,3$	+++	12	4—5	7—8	США
<i>A. canadensis</i>	<i>Aedes canadensis</i>	$4,4$ — $7,0 \times 3,5$	+	11	3	8	Там же
<i>A. connecticus</i>	<i>A. cantator</i>	$7,0$ — $7,2 \times 4,8$ — $5,0$?	11,5	4	7—8	Там же
<i>A. khaliulini</i>	<i>A. communis</i>	$6,0$ — $7,3 \times 4,2$ — $4,8$?	12	3—4	8—9	Там же
<i>A. aegyptii</i>	<i>Culex pipiens</i>	$5,2 \times 2,9$?	7	3—4	3—4	Египет
<i>A. weiseri</i>	<i>Aedes cantans</i>	$6,3 \times 4,9$?	7	2—3	4—5	Чехо-Словакия

Примечание: условные обозначения как в табл. 2.

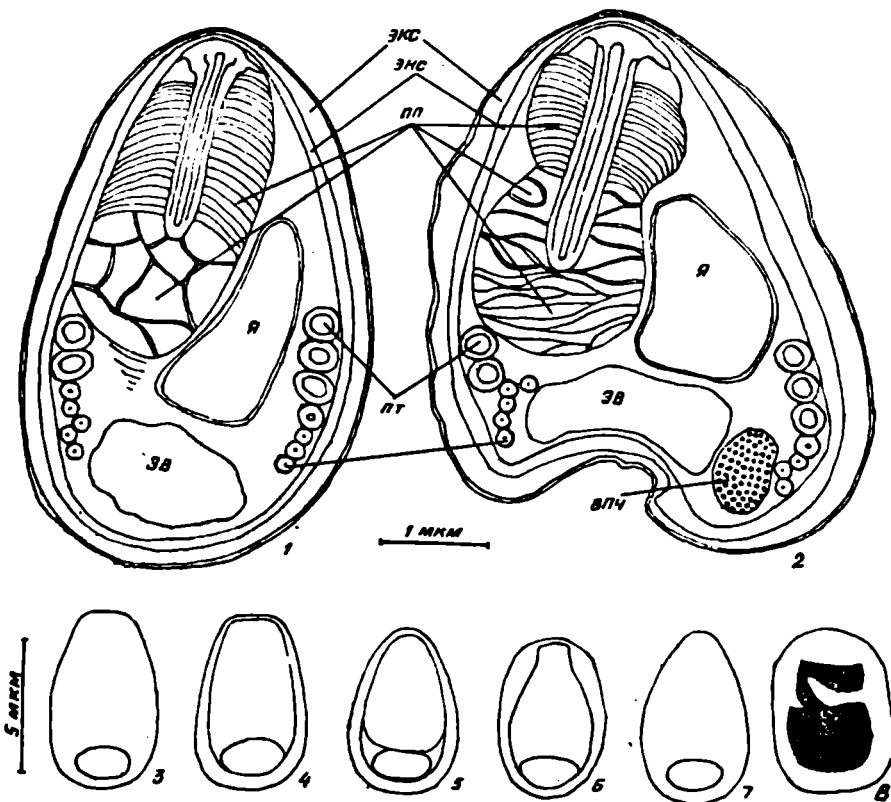


Рис. 3. Споры микроспоридии *A. dissimilis* sp. н.: 1—2 — продольные ультратонкие срезы через споры; 3—7 — живые споры; 8 — окрашенная спора (влч — вирусоподобные частицы, зв — задняя вакуоль, пп — поляропласт, пт — полярная трубка, экс — экзоспора, энс — эндоспора, я — ядро).

Fig. 3. Spores of *A. dissimilis* sp. n.: 1—2 — longitudinal ultrathin sections through spores; 3—7 — living spores; 8 — stained spore (влч — virus-like particles, зв — posterior vacuole, пп — polaroplast, пт — polar tube, экс — exospore, энс — endospore, я — nucleus).

$(3,7-4,7) \times 3,10 \pm 0,14$ (2,9—4,0) мкм. Толщина эндоспоры равна или не более чем в 2 раза превышает толщину экзоспоры (табл. 3). На поверхности экзоспоры равномерно располагаются пучки волокнистых образований, различимые только под электронным микроскопом (рис. 4, 16). По-видимому, ореол из этих структур искажает истинные размеры живых спор при изучении их под световым микроскопом. Поляропласт состоит из двух долей, представленных плотно и рыхло уложенным пластинами. Полярная трубка образует в споре 11—12 колец, из которых 4—5 составляют базальный, 2 — медиальный и 5—6 колец — дистальный участок трубки (табл. 3). Структура полярной трубки на поперечных срезах сходна с таковой у микроспоридии *A. cantansi* sp. п. Ядро крупное, изменчивой формы. Задняя вакуоль без включений.

Экстенсивность инвазии личинок IV стадии — 1—10 %. Интенсивность инвазии очень высокая — поражаются все участки жирового тела.

Дифференциальный анализ. По количеству витков полярной трубки *A. pilosa* sp. п. близка к пяти видам микроспоридий этого рода из комаров: *A. californica*, *A. canadensis*, *A. connecticus*, *A. khaliulinii* и *A. cantansi* (табл. 4). Отличительными признаками нового вида являются: отсутствие мукоцилика, наличие волокнистых структур в споронтах, спороносных пузырьках и на экзоспоре (основные отли-

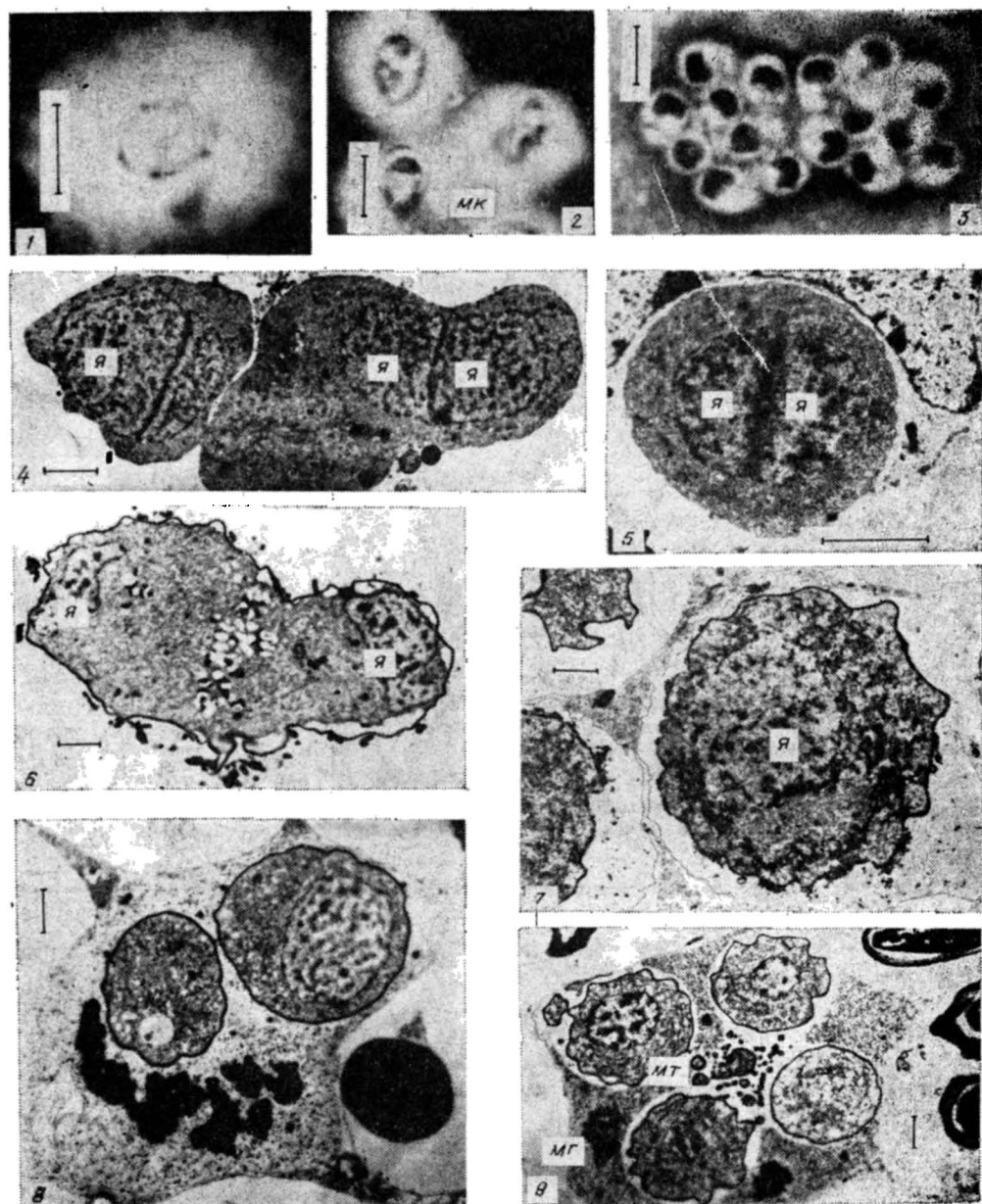
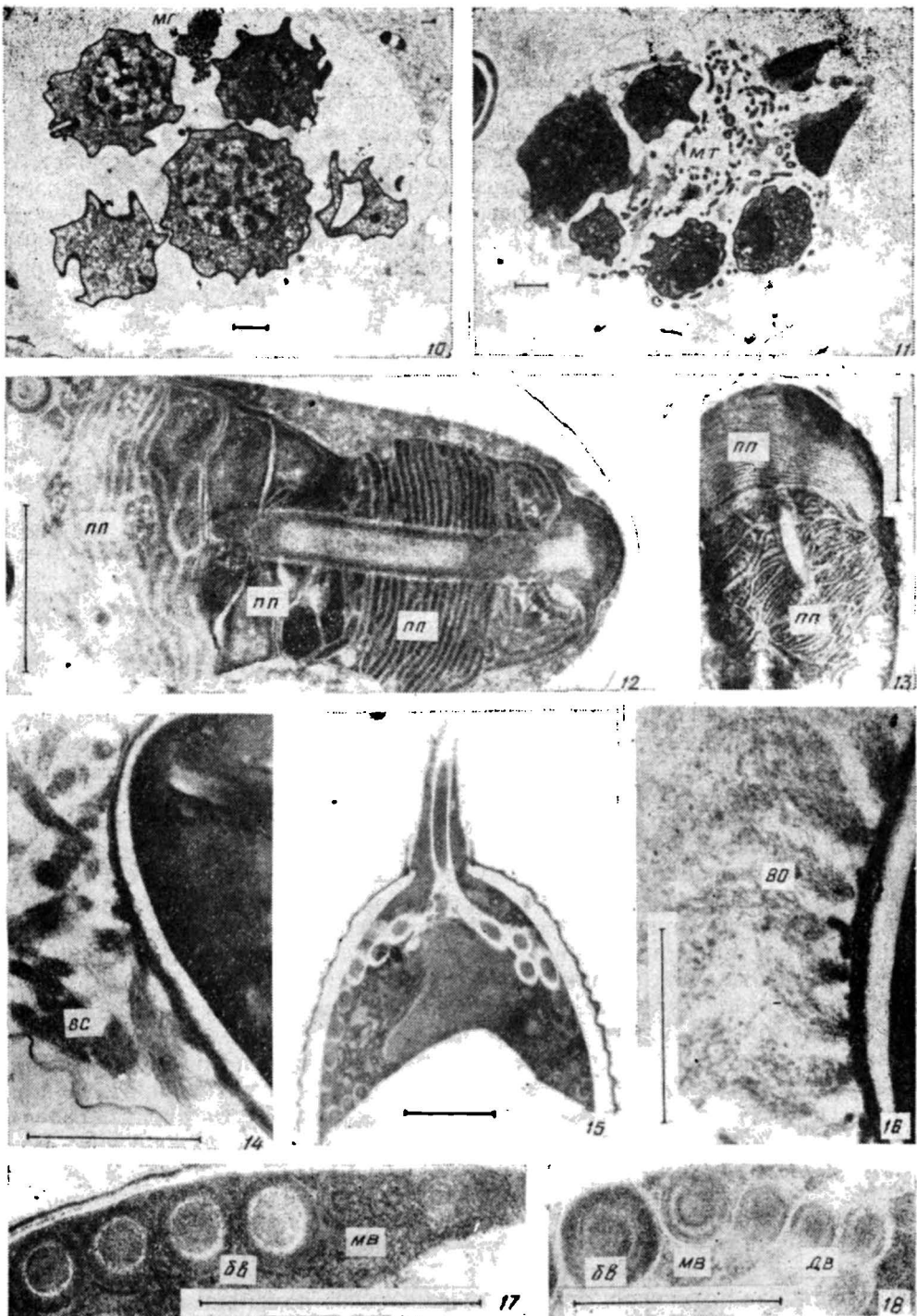


Рис. 4. Стадии развития микроспоридий рода *Amblyospora*: 1 — спора *A. cantansi* в по Романовскому-Гимза); 4 — овальные диплокарноны *A. cantansi*; 5 — окружлый ди *A. cantansi*; 8, 9 — споронты *A. dissimilis* в процессе спорогонии; 10, 11 — спороносные участком полярной трубки; 13 — поляропласт *A. cantansi*; 14 — волокнистые структуры 16 — волокнистые образования на экзоспоре *A. pilosa*; 17, 18 — поперечный срез витков трубки; вс — волокнистые структуры в спороносных пузырьках; во — волокнистые отдел полярной трубки; мг — метаболические гранулы; мк — мукокаликс; мт — микрорональная микроскопия). Масштаб: 1—3 — 5 мкм, 4—18 — 1 мкм.

Fig. 4. Developmental stages of the *Amblyospora* microsporidia: 1 — *A. cantansi* spore with Giemsa); 4 — *A. cantansi* ovate diplokaryons; 5 — *A. cantansi* round diplokaryon; 8, 9 — *A. dissimilis* sporophorous vesicles during sporogony; 10, 11 — *A. dissimilis* sporophorous vesicles with sporoplast; 14 — fibrous structures in sporophorous tubes; 17 — *A. cantansi*, 18 — *A. dissimilis*); 6_в — polar tube basal part; 8_в — polar tube distal part; 10_в — polar tube medial part; мг — metabolic granules; light microscopy; 4—18 — electron microscopy). Reference bar: 1—3 — 5 μ m, 4—18 — 1 μ m.



мунокаликсе; 2 — споры *A. dissimilis* в мукокаликсах; 3 — споры *A. cantansi* (окраска плокарион); 4 — деление меронтов *A. cantansi*; 5 — одноядерный споронт пузырьки *A. dissimilis* со споробластами; 6 — поляропласт *A. dissimilis* с базальными ры в спороносных пузырьках; 7 — экструзия полярной трубки из споры *A. cantansi*; полярной трубки (17 — *A. cantansi*, 18 — *A. dissimilis*); 8в — базальный отдел полярной образования на экзоспоре; 8в — дистальный отдел полярной трубки; 8в — медиальный трубочки; 8в — поляропласт; я — ядро (1—3 — световая микроскопия; 4—18 — электронная микроскопия). Масштабные линейки в фиг. 10, 11, 12, 13, 14, 15, 16, 17, 18 — 1 μm .

in mucocalyx; 2 — *A. dissimilis* spores in mucocalyxes; 3 — *A. cantansi* spores (stained by plakarion); 4 — meront division; 5 — *A. cantansi* mononucleate sporont; 6, 9 — *A. dissimilis* sporoblasts; 12 — *A. dissimilis* polaroplast with polar tube basal part; 13 — *A. cantansi* polarization from a spore; 16 — *A. pilosa* fibrous structures on exospore; 17, 18 — transverse part; 8c — fibrous structures in sporopherous vesicles; 8d — fibrous structures on exospore; 8e — mucocalyx; 8f — microtubules; 8g — polaroplast; я — nucleus (1—3 — light microscopy; 4—18 — electron microscopy). Scale bars in fig. 10, 11, 12, 13, 14, 15, 16, 17, 18 — 1 μm .

чия от *A. cantansi* sp. п.), и тонкая (а не толстая) экзоспора, диморфный поляропласт и наличие «переходного» участка полярной трубы.

Микроспоридия, обнаруженная у комара *A. flavescens* (проба 13-9), занимает промежуточное положение между *A. cantansi* sp. п. и *A. pilosa* sp. п. Для нее характерны наличие мукокаликса и волокнистых структур в споронтах и спороносных пузырьках, однако на экзоспоре волокнистые образования отсутствуют. Учитывая, что в данном случае имело место заражение хозяина двумя патогенами одновременно (микроспоридия+вирус радужности комаров)—возможная причина морфологических отклонений у микроспоридии—и по преобладанию общих с *A. cantansi* sp. п. признаков, мы относим данную микроспоридию к этому виду.

Распространение. Обнаружена ранней весной в зонах Киевского Полесья и Лесостепи.

*Amblyospora dissimilis** Kiloczyski, sp. п.

Thelohania opacita Kudo, 1922 (Киличинский, Шеремет, 1978); *Amblyospora* sp. (Овчаренко и др., 1987).

Материал. Гапантотип: препараты 0639 (водяный, тушевый), 0640 (окрашенный, постоянный) из личинки *A. cantans* (проба 20-9, залита в эпоконовую смесь). Электронномикроскопические негативы 4466—4475.

Хозяева: кровососущие комары *A. cantans* (типовой хозяин), *A. cyprius*, *A. behningi* и *A. excrucians*; личинки IV стадии.

Локализация: эндоциты, жировое тело.

Место обнаружения: Украина, Черниговская обл.; временный полузатененный водоем (проба 20-9).

Описание. В процессе мерогонии образуются цепочки из продолжавших диплокарионов. Спорогония — путем последовательных бинарных делений одноядерного споронта (2—4—8) с последующей миграцией клеток на периферию (рис. 4, 8—11). Обычно споронты включают 1—3 небольших метаболических гранул (рис. 4, 9—10), но в споронтах микроспоридии из *A. cyprius* наряду с гранулами находились включения наподобие микротрубочек и волокнистые структуры (рис. 4, 11). Оболочка спороносного пузырька неустойчива и разрушается к моменту созревания спор. Форма живых спор из разных хозяев варьирует от яйцевидной (споры из *A. behningi*, *A. cyprius*—58-0) до усеченно-яйцевидной (споры из *A. cantans* и *A. cyprius*—18-9) (рис. 3, 3—7). Заметно варьируют и размеры живых спор — 6,0—7,3×3,8—5,3 мкм (табл. 2). Задняя вакуоль небольшая, до 0,2 длины споры. Мукокаликс отсутствует у спор из *A. cyprius*—58-0; нечеткий, водянистый мукокаликс проявляется через 1—7 сут на тушевых препаратах спор из *A. cyprius*—18-9; и более четкий — у спор из *A. cantans* и, особенно, из *A. behningi* (рис. 4, 2). Содержимое спор, окрашенных по Романовскому-Гимза, напоминает букву С (рис. 3, 8). Яйцевидные, с небольшой округлой задней вакуолью и лишенные мукокаликса, споры микроспоридии из личинок IV стадии *A. excrucians* (собраны 24.10—10.11.1988 в окр. с. Круглик); размеры 6,3(6,3—6,5)×4,5 (4,5—5,0) мкм.

Ультраструктура спор. По сравнению с живыми размеры фиксированных спор отличаются меньшей изменчивостью — $5,17 \pm 0,09$ (4,8—5,5)×3,54±0,08 (3,1—3,7) мкм (табл. 3). Толщина оболочки споры варьирует от 400 нм на боках до 500 нм — в зонах «наплывов» (передняя четверть споры), утончаясь до минимума на переднем полюсе (рис. 3, 2). Слоистая экзоспора почти в 2 раза толще эндоспоры (табл. 3). Крупный, до 0,75 длины споры, изогнутый поляропласт представлен тремя участками: плотнопластинчатым, камернопластинчатым и рыхлопластинчатым (рис. 4, 12). Крупное ядро лежит в центре споры, охватывая полукольцом поляропласт. Полярная трубка образует 7—8 (реже 7—9) витков в споре, из которых 2—3 витка базальным, 1—2 — медиальным и 2—4 — дистальным отделом трубки.

* *dissimilis* (лат.) — непохожая.

Длина самопроизвольно выброшенных трубок — до 70 мкм. В спорах из *A. cantans* и *A. behningi* рядом с задней вакуолью нередко присутствует округлое образование, заполненное мелко гранулированным секретом, напоминающим вирусоподобные частицы (рис. 3, 2).

Экстенсивность инвазии личинок IV стадии — 1—10 %. Интенсивность инвазии высокая — поражаются все участки жирового тела.

Дифференциальный анализ. По количеству витков полярной трубы анализируемый вид близок к двум микроспоридиям рода *Amblyospora* из комаров *A. aegypti* и *A. weiseri* (табл. 4). Отличительными признаками являются: строение поляропласта и полярной трубы, наличие мукоаликса и структура включений в споронтах и спороносных пузырьках.

Распространение. С учетом находок данного вида микроспоридий у личинок комаров *Culiseta annulata* (Sch.) и *Culex territans* Walk. летом (материал обрабатывается) можно судить о широком распространении его в зонах Полесья и Лесостепи Украины с весны до глубокой осени.

Amblyospora cataphyllus Kiloczyski, 1992

Микроспоридия обнаружена в жировом теле личинок IV стадии комара *A. cantans*, самок (табл. 2). Сходство процессов мерогонии и спорогонии, структуры меронтов и споронтов, внешнего строения и ультраструктуры спор (табл. 2 и 3) позволяют идентифицировать этот вид как *A. cataphyllus*, описанный ранее как паразит личинок IV стадии кровососущего комара *Aedes cataphylla* Dug (Киличицкий, 1992), и тем самым дополнить список хозяев этой микроспоридии.

Заслуживает обсуждения механизм экструзии полярной трубы. По нашим наблюдениям, у микроспоридии *A. cantansi* этот процесс не сопровождается выворачиванием трубы, как это было показано в известной схеме Лома и Вавры (Lom, Vavra 1963). Судя по электроGRAMME (рис. 4, 15), сама трубка в этот момент является не пустотелой (как можно было ожидать при ее выворачивании), а заполненной расположенным концентрическими слоями веществом различной электронной плотности (как и у покоящихся спор). Сопоставление размеров ядра (1000—1500 нм), диаметра отверстия в споре (около 580 нм) и диаметра полярной трубы (максимум 330 нм) также свидетельствует в пользу того, что спороплазма выходит из споры скорее всего через отверстие в споре, а не через просвет полярной трубы. Аналогичная наблюданной нами экструзия полярной трубы отмечена Ваврой (Vavra, 1976) у микроспоридии *Stempellia* sp.

Киличицкий П. Я. К изучению микроспоридий личинок кровососущих комаров в Киевской области // Патология членистоногих и биологические средства борьбы с вредными организмами: Тез. докл. I Киев. конф.—Киев, 1974.—С. 92—93.

Киличицкий П. Я. Микроспоридии кровососущих комаров *Aedes (O.) cataphylla* Украины // Паразитология.—1992.—28, № 3.—С. 252—256.

Киличицкий П. Я., Шеремет В. П. Микроспоридии кровососущих комаров севера Украины // Вестн. зоологии.—1978.—№ 1.—С. 62—66.

Овчаренко Н. А., Киличицкий П. Я., Пушкарь Е. Н. Микроспоридии и микроспоридиозы гидробионтов Украины (состояние изученности, практическое значение, перспективы) // Паразиты и другие симбионты беспозвоночных и рыб.—Киев: Наук. думка, 1987.—С. 64—88.

Hazard E. I., Oldacre S. W. Revision of Microsporidia (Protozoa) close to Thelohania, with description of one new family, eight new genera, and thirteen new species // Techn. Bull.—Washington, 1975.—1530.—P. 1—104.

Lom J., Vavra J. The mode of sporoplasm extrusion in microsporidian spores // Acta prototzool.—1963.—1, N 10.—P. 81—90.

Vavra J. Structure of the microsporidia // Comparative pathobiology: Biology of the Microsporidia.—New York, London: Plenum Press, 1976.—Vol. 1.—P. 1—85.

Киевский университет
(252017 Киев)

Получено 23.03.94